

국산 경량 블록 암호 PIPO, HIGHT, CHAM 고속 구현 연구

김인영¹·석병진²·이창훈^{3*}¹서울과학기술대학교 컴퓨터공학과 석사과정 ²서울과학기술대학교 컴퓨터공학과 박사과정^{3*}서울과학기술대학교 컴퓨터공학과 교수

A Study of Fast Implementation of Korea Block Ciphers PIPO, HIGHT, and CHAM

Inyeung Kim¹ · Byoungjin Seok² · Changhoon Lee^{3*}¹Master's Course, Department of Computer Science and Engineering, Seoul National University of Science and Technology, Seoul 01811, Korea²PH.d's Course, Department of Computer Science and Engineering, Seoul National University of Science and Technology, Seoul 01811, Korea^{3*}Professor, Department of Computer Science and Engineering, Seoul National University of Science and Technology, Seoul 01811, Korea

[요약]

통신량이 많거나 자원이 제한된 IoT 디바이스에서는 경량 블록 암호를 동작시키는 것이 부담스러울 수 있다. 또한, 경량 암호는 범용 암호와 다른 설계 원리로 인해 범용 환경에서 상대적으로 비효율적으로 동작할 수 있다. 경량 블록 암호 알고리즘에 대한 연구는 활발히 이뤄지고 있으나, 국산 암호 알고리즘에 대한 연구는 국외 표준 알고리즘에 비해 상대적으로 적은 실정이다. 국산 블록 암호는 KCMVP 등으로 인해 분명한 수요처가 존재하기 때문에, 본 논문은 국산 경량 블록 암호를 대상으로 경량 환경과 범용 환경에서 최적화 구현 연구를 수행한다. 본 논문은 임의의 알고리즘을 대상으로 CTR 모드 최적화 구현 기법을 적용하는 방법론을 제안하며, 제안하는 방법론으로 PIPO 알고리즘을 대상으로 CTR 모드 최적화 구현을 수행한다. 또한, ARX 기반 암호 알고리즘을 대상으로 비트 슬라이스 구현 기법을 적용하는 방법론을 제안하며, HIGHT, CHAM 알고리즘을 대상으로 비트 슬라이스 구현을 수행한다. 이후, 8bit, 32bit, 그리고 PC 환경에서 최적화 구현물의 성능을 확인한다.

[Abstract]

In IoT devices with high communication volume or limited resources, it may be hard to operate lightweight block ciphers. In addition, lightweight ciphers may operate relatively inefficiently in a general-purpose environment due to design principles different from those of general-purpose ciphers. Research on lightweight block encryption algorithms has been actively conducted, but there are relatively few studies on Korean encryption algorithms compared to foreign standard algorithms. Since Korean block ciphers have clear sources of demand due to KCMVP, in this paper conducts research on optimization implementation in lightweight and general-purpose environments targeting Korean lightweight block ciphers. This paper proposes a methodology that applies a CTR mode optimization implementation methodology to any block cipher algorithm and performs CTR mode optimization implementation for PIPO as the proposed methodology. In addition, this paper propose a methodology for applying bitslice implementation techniques to ARX-based cipher algorithms, and bitslice implementation is performed for HIGHT and CHAM algorithms. And the performance of the optimization implementation is checked in an 8-bit, 32-bit and PC environment.

색인어 : 비트 슬라이스, 블록 암호, 최적화 구현, IoT 디바이스, CTR 모드 최적화 구현 기법**Keyword** : Bitslice, Block Cipher, CTR mode optimization, Optimization Implementation, IoT Device<http://dx.doi.org/10.9728/dcs.2021.22.12.2063>

This is an Open Access article distributed under the terms of the Creative Commons Attribution Non-Commercial License (<http://creativecommons.org/licenses/by-nc/3.0/>) which permits unrestricted non-commercial use, distribution, and reproduction in any medium, provided the original work is properly cited.

Received 03 December 2021; Revised 14 December 2021

Accepted 17 December 2021

***Corresponding Author; Changhoon Lee**

Tel: +82-2-970-6712

E-mail: chlee@seoultech.ac.kr

I. 서론

5G의 등장과 사물인터넷의 발전으로 다양한 환경에서 대량의 통신이 이뤄지고 있다. CISCO는 IP 네트워크에 연결된 장치의 수가 2023년 세계 인구의 3배 이상이 될 것이며, Machine-to-Machine (M2M) 연결의 점유율이 2018년 33%에서 2023년 50%로 증가할 것으로 예측하였다[1]. 그러나 개인용 컴퓨터, 서버 환경을 위해 설계된 AES, SEED 등 범용 암호화 알고리즘은 워드 및 메모리 크기로 인해 자원이 제한된 장치에서 비효율적으로 동작할 수 있다. 따라서 IoT 디바이스와 같은 저전력 디바이스 환경에서의 기밀성을 보장하기 위해 자원이 제한된 환경에서 효율적으로 동작하는 경량 블록 암호 알고리즘이 활발하게 개발되고 있으며 PRESENT[2], GOST 28147-89[3] 등이 제안되었다. 또한, 차세대 경량 블록 암호 알고리즘 표준을 위해 NIST LightWeight Cryptography (LWC) 공모가 이뤄지고 있으며 현재 결선이 진행되고 있다[4]. 국내에서도 저전력 디바이스 환경을 대상으로 2005년 HIGHT[5], 2013년 LEA[6], 2017년 CHAM[7], 2019년에 revised CHAM[8], 2020년 PIPO[9] 암호 알고리즘이 제안되었다.

국내에서 개발된 블록 암호 알고리즘은 안정성 테스트 과정을 거쳐 국내 암호 모듈의 안전성과 구현 적합성을 검증하는 제도인 KCMVP의 인증 암호에 포함되었다. 현재 KCMVP 검증 대상 암호 알고리즘 중 블록 암호는 모두 국산 블록 암호 알고리즘 ARIA, SEED, LEA, HIGHT로 구성되어 있다[10]. KCMVP 검증 대상 암호 알고리즘에 포함된 블록 암호 알고리즘은 전자정부법 시행령 제 69조와 암호 모듈 시험 및 검증지침에 의거, 국가 공공기관 정보통신망에서 소통되는 중요 정보의 보호를 위해 사용된다. 현재까지 다양한 서비스를 제공하는 암호 모듈들이 KCMVP 인증을 받았으며, 국산 블록 암호 알고리즘을 통해 암호화를 진행한다. 최근에는 IoT 디바이스 환경에 최적화된 펌웨어 암호 모듈이 KCMVP 인증을 받았다[11].

그러나 저전력 디바이스는 8bit, 16bit 워드 사이즈를 가지며, 하드웨어의 제한된 면적과 전력 소비량, 메모리 크기 등의 제약이 존재한다. 따라서 IoT 기기나 통신량이 많은 디바이스에는 경량 암호 알고리즘의 적용이 부담스러울 수 있다. 실제로, 2020년 Unit 42는 미국의 120만 개의 IoT 장치를 분석한 결과 IoT 장치의 트래픽의 98%가 암호화되지 않았다고 보고하였다[12].

Contiki, TinyOS, ARM Mbed OS 및 다양한 IoT OS가 32bit 프로세서를 지원하며, Riot Amazon Freetos의 IoT OS는 x86 프로세서와 디바이스를 지원한다[13]. 따라서 경량 블록 암호 알고리즘은 서버 및 허브로 사용되는 32bit 및 범용 환경의 디바이스에서 다수의 IoT 기기와 통신하기 위해 사용될 수 있다. 그러나, 경량 암호 알고리즘의 설계 원리가 저전력 디바이스 환경을 대상으로 하므로, 범용 환경에서는 상대적으로 비효율적으로 동작할 수 있다. 따라서 경량 환경

및 범용 환경에서의 경량 암호 최적화 연구는 필수적이다.

그러나 블록 암호를 대상으로 한 최적화 구현 연구는 활발히 이뤄지고 있지만, 국산 블록 암호를 대상으로 한 최적화 구현 연구는 국외 표준 암호 알고리즘과 비교하여 상대적으로 부족한 실정이다. 현재 블록 암호를 효율적으로 동작시킬 수 있는 비트 슬라이스 기법 및 CTR 모드 최적화 구현 기법 등 다양한 최적화 구현 기법들을 다양한 알고리즘을 대상으로 적용하는 연구들이 수행되고 있다. 그렇지만 국산 블록 암호 알고리즘 중 해당 최적화 구현 기법들이 적용 가능성에도 최적화 구현 연구가 수행되지 않은 암호 알고리즘들이 존재한다. 특히 ARX 기반의 국산 블록 암호 알고리즘을 대상으로 한 비트 슬라이스 기법 적용에 관한 연구가 수행되지 않았으며, 신규 경량 블록 암호 알고리즘인 PIPO에 대한 CTR 모드 최적화 구현 기법 연구가 수행되지 않았다.

따라서 본 논문은 국산 경량 블록 암호를 대상으로 경량 환경에서 최적화 구현을 위해 CTR 모드 최적화 구현 기법을 수행하였으며 범용 환경에서 최적화 구현을 위해 비트 슬라이스 구현 기법을 적용하는 연구를 수행하였다. 본 논문은 CTR 모드 최적화 기법을 Confusion과 Diffusion 원리를 기반으로 설계된 임의의 블록 암호 알고리즘에 적용하는 방법론을 제안하며, 제안하는 방법론을 사용하여 PIPO 암호 알고리즘을 대상으로 CTR 모드 최적화 구현을 수행한 결과를 소개한다. 또한 본 논문은 ARX 기반 국산 블록 암호를 대상으로 비트 슬라이스 기법을 적용하는 방법론을 제안하며, CHAM, HIGHT를 대상으로 비트 슬라이스 구현을 수행한 결과를 소개한다. 이후, 8bit와 32bit, 그리고 PC 환경에서 최적화 구현물에 대한 성능을 측정하며, 각 환경에서 최적화 구현이 잘 이뤄졌는지 확인한다.

본 논문은 기존의 CTR 모드 최적화 구현 기법을 임의의 블록 암호 알고리즘에 적용하는 방법론에 관한 연구가 미비한 점, PIPO 암호 알고리즘을 대상으로 하는 CTR 모드 최적화 구현 연구가 없었다는 점, 비트 슬라이스 구현 기법을 ARX 기반 암호 알고리즘에 적용하는 방법론에 관한 연구가 미비한 점, 국산 블록 암호 알고리즘 HIGHT, CHAM을 대상으로 비트 슬라이스 구현 연구가 부족한 점을 보완하기 위해 제안되었다. 본 논문이 기여하는 바는 다음과 같다.

- CTR 모드 최적화 구현 기법을 임의의 블록 암호 알고리즘에 적용하는 방법론을 제안함
- 비트 슬라이스 구현 기법을 ARX 기반 암호 알고리즘에 적용하는 방법론을 제안함
- 제안하는 CTR 모드 최적화 구현 기법 적용 방법론을 국산 블록 암호 알고리즘 PIPO에 적용한 결과를 소개함
- 제안하는 ARX 기반 암호 알고리즘에 적용 가능한 비트 슬라이스 구현 방법론을 HIGHT, CHAM에 적용한 결과를 소개함
- 8bit, 32bit 환경, 그리고 PC 환경에서 최적화 구현이 수행된 암호 알고리즘의 성능을 측정하고 비교함

본 논문은 다음과 같이 구성된다. 본 논문의 2장에서는 적용할 최적화 구현 기법과 암호 알고리즘을 설명하며, 3장에서는 적용할 최적화 구현 기법에 관한 기존 연구를 소개한다. 4장에서는 제안하는 최적화 구현 기법을 소개하고, 5장에서는 실험 결과를 정리하며, 마지막으로 6장에서는 결론을 다룬다.

II. 관련 연구

2장에서는 본 논문에서 대상으로 하는 최적화 구현 기법과 대상 암호 알고리즘을 설명한다. 2.1절에서는 CTR 모드 최적화 구현 기법을 소개하고 CTR 모드 최적화 구현 기법을 다룬 기존 연구를 소개한다. 2.2절에서는 비트 슬라이스 기법을 소개하고 비트 슬라이스 기법을 다룬 기존 연구를 소개한다. 2.3절에서는 최적화 구현 기법의 대상이 되는 PIPO, HIGHT, CHAM 알고리즘을 소개한다.

2-1 CTR 모드 최적화 구현 기법

CTR 모드는 블록 암호 운영 모드 중 하나로, 다수의 블록을 암호화하기 위해 사용된다. CTR 모드는 1씩 증가하는 카운터를 암호화한 후 평문 블록과 XOR 하여 암호문을 생성한다. 블록을 미리 암호화하는 사전 계산이 가능하다는 장점으로 가장 널리 사용되는 운영 모드 중 하나이다. CTR 모드는 현재 Open Mobile Appliance (OMA) 및 Digital Right Management (DRM) 등과 같이 다양한 서비스에 사용된다. 또한, GCM, CCM과 같이 암호화와 동시에 연관 데이터에 대한 인증값을 생성하는 Authentication Encryption Assodicated Data (AEAD) 스킴을 만들기 위해 CTR 모드가 사용되기도 한다[14][15].

CTR 모드 최적화 구현 기법은 카운터 값이 1씩 증가하는 CTR 모드의 특징을 이용한다. 해당 기법은 암호화가 수행되는 입력 평문 중 카운터 값의 증가로 인한 영향을 거의 받지 않는 비트들에 대한 사전 계산 결과를 캐싱하여 최적화한다. CTR 모드 최적화 구현 기법은 8bit, 16bit, 32bit 등 모든 환경에 적용 가능하며, 테이블 기반의 구현 및 비트 슬라이스 구현 등과 같이 다른 구현물에도 적용 가능하다는 장점이 있다.

그림 1은 AES 알고리즘에 CTR 모드 최적화 구현 기법을 적용한 것을 보여준다[16]. 그림 1의 흰색으로 칠해진 영역은 CTR 모드의 입력 평문 중 카운터 값이 증가하는 것에 따라 변경되지 않는 바이트를 의미하며, 매 실행시 동일한 값을 가진다. 붉은색으로 칠해진 영역은 CTR 모드의 입력 평문 중 카운터 값으로 변경되는 비트들의 영역을 표시한 것으로, 매 실행시 다른 값을 가진다. CTR 모드 최적화 구현 기법은 흰색으로 칠해진 영역만을 입력으로 하는 연산의 결과를 캐싱하고, 흰색 영역과 붉은색 영역이 연관되어 입력되는 연산을 축소시켜 최적화를 수행한다.

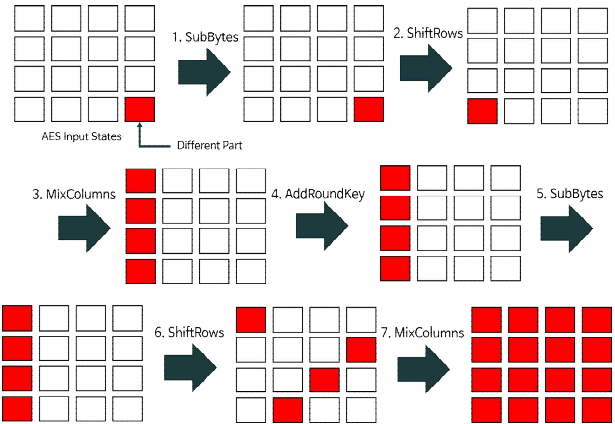


그림 1. AES 알고리즘의 동작 과정에 따른 CTR 모드 입력 평문 중 카운터 값의 증가로 영향을 받는 바이트 영역과 카운터 값의 증가로 영향을 받지 않는 바이트 영역
Fig. 1. The bytes area of input plaintexts affected by increase of the counter value and the bytes area not affected by increase of counter value in AES-CTR process

그림 1은 AES 알고리즘의 동작 과정에 따라 CTR 모드 입력 평문이 모두 카운터 값에 영향을 받아 매 실행마다 값이 다른 붉은색 영역이 되는 과정을 보여준다. AES 동작 과정에 따라 흰색 영역은 다음과 같이 붉은색 영역의 영향을 받는다. 먼저, AES 알고리즘의 SubBytes 과정은 각 상태 바이트들을 치환하는 과정으로 입력이 같다면 같은 출력을 생성하여 흰색 영역이 그대로 유지된다. 이후, ShiftRows 과정은 상태 바이트의 위치를 변경하는 과정으로, 흰색 영역과 붉은색 영역의 위치만 변경된다. 반면에 MixColumn 과정의 경우에는 상태 배열의 한 열이 연산 과정에 의해 치환되는 과정이다. 따라서 흰색 영역만으로 입력이 구성된 영역은 MixColumn 연산 이후 모두 흰색으로 출력되지만 붉은색 영역이 하나라도 섞인다면 모두 붉은색으로 출력된다. 마지막으로 AddRoundKey 연산은 모든 상태 바이트에 라운드 키를 XOR 하는 연산으로 흰색 영역과 붉은색 영역이 그대로 유지된다. 따라서 그림 1과 같이 AES 알고리즘의 동작 과정에 따라 마지막 1바이트 붉은 영역이 SubBytes 과정을 통해 그대로 유지되고, ShiftRows 과정을 통해 위치가 변환되고, MixColumn 과정을 거쳐 총 4개의 흰색 영역으로 확산된다. 이후, AddRoundKey 과정과 SubBytes 과정을 통해 그대로 유지되고, ShiftRows 과정을 통해 4개의 붉은색 영역의 위치가 변경되며 마지막으로, MixColumns 과정을 통해 모든 상태의 바이트가 붉은색 영역이 된다.

[16]은 그림 1의 AES를 대상으로 CTR 모드 최적화 구현을 수행하여 2개의 AddRoundKey, 2개의 SubBytes, 2개의 ShiftRows, 그리고 1개의 MixColumn 연산 결과를 사전 계산하여 최적화를 수행하였으며, 기존 테이블 기반 구현보다 15~20% 속도 향상을 이뤘다.

CTR 모드 최적화 구현 기법은 2019년 CHES에서 처음

발표된 연구[16]를 시작으로 다양한 환경과 알고리즘을 대상으로 활발히 연구가 수행되었다. [17]은 자원이 제한된 8bit AVR 환경에서 적용 가능한 CTR 모드 최적화 기법을 제안하였으며, AES 알고리즘의 성능을 22% 개선하였다.

이후 2020년에는 ARIA 알고리즘을 대상으로 CTR 모드 최적화 구현 연구가 수행되었으며, 2개의 AddRoundKey, 1개의 SubstituteLayer, 그리고 1개의 DiffusionLayer 라운드 연산을 미리 계산하여 69% 성능 향상을 이루었다[18].

또한 2020년에는 8bit AVR 환경에서 HIGHT, LEA 알고리즘과 CTR_DRBG (Deterministic Random Bit Generator) 알고리즘을 대상으로 CTR 모드 최적화 구현 연구가 수행되었다[19]. LEA와 HIGHT 알고리즘을 대상으로 CTR 모드 최적화 수행 결과 6.3%, 3.8% 성능 향상이 이뤄졌으며, CTR_DRBG 구현은 블록 암호가 LEA, HIGHT를 사용할 때, 각각 37.2%, 8.7% 성능 향상이 이뤄졌다.

2021년에는 ARX 기반 암호 알고리즘 LEA, HIGHT, CHAM 알고리즘을 대상으로 ARMv8 환경에서 CTR 모드 최적화 구현 연구가 수행되었다[20]. CTR 모드 최적화 구현을 통해 LEA를 대상으로 4라운드, HIGHT를 대상으로는 5라운드, CHAM을 대상으로 7라운드를 최적화 구현하였으며, 각각 8.76%, 8.67%, 15.87% 성능 향상이 이뤄졌다.

그러나 CTR 모드 최적화 구현에 관한 기존 연구들은 특정 암호 알고리즘을 대상으로 적용하는 연구만 이뤄졌으며, 모든 알고리즘에 적용 가능한 방법론에 관한 연구가 수행되지 않았다. 이에, 본 논문은 CTR 모드 최적화 구현 기법을 블록 암호에 적용하는 일반적인 방법론을 소개하고, CTR 모드 최적화 구현 연구가 이뤄지지 않은 PIPO 알고리즘에 대해 CTR 모드 최적화 구현 기법을 적용한 결과를 소개한다.

CTR 모드 최적화 구현 기법을 임의의 블록 암호에 적용하기 위해서는 다음의 내용을 고려해야 한다.

- 암호 알고리즘마다 동작 과정이 다르므로 암호 알고리즘의 동작상의 특징에 맞게 최적화를 수행해야함
- 카운터 값이 1씩 증가함에 따라 자주 변경되는 하위 비트와 거의 값이 변경되지 않은 상위 비트를 입력으로 하는 암호 알고리즘의 동작 과정을 분석해야 함
- 알고리즘의 라운드 함수에 따라 최적화 결과가 상이함

2-2 비트 슬라이스 구현 기법

비트 슬라이스 구현 기법은 DES의 성능을 증가시키기 위해 Biham이 최초로 제안한 구현 기법으로[21], 입력 평문을 비트 단위로 쪼개서 마치 하드웨어와 같이 암호 알고리즘을 동작시키는 구현 기법이다. 그림 2는 비트 슬라이스 데이터 구조로 n개의 평문 블록을 비트 순서대로 정렬하는 packing 과정을 보여준다. 비트 슬라이스 구현 기법은 packing 과정의 대상이 되는 블록 수 만큼 한 번에 여러 개의 평문이 동시에 처리되게한다.

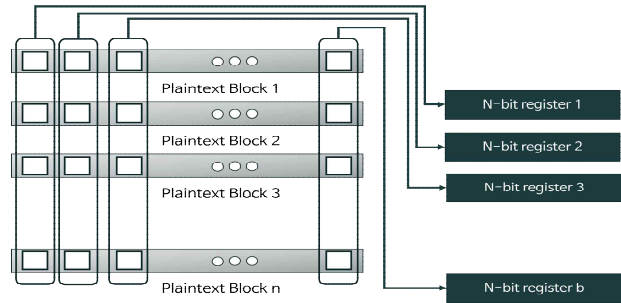


그림 2. 비트 슬라이스 데이터 구조
Fig. 2. Data structure of bitslice

비트 슬라이스 구현은 다음과 같은 장단점이 존재한다. 비트 단위의 masking 연산과 rotation 연산을 효율적으로 수행할 수 있다는 장점이 존재한다. 또한 키와 입력값에 상관없이 동일한 시간이 소요되어 timing attack에 저항성이 있다는 장점이 있다. 병렬로 처리하는 평문 블록의 숫자로 워드 크기가 결정되므로 대상 암호 알고리즘의 워드 크기와 다르게 암호 알고리즘을 동작시킬 수 있다는 장점이 있다. 그러나 비트 슬라이스 구현 기법은 암호 알고리즘의 동작 과정이 비트 단위의 연산으로 구성되어야 적용할 수 있다는 단점이 있다. 또한, 암호 알고리즘 동작 전/후로 수행되는 packing/unpacking 과정의 오버헤드가 존재한다.

비트 슬라이스 구현 기법은 Biham이 최초로 제안한 이후 [21], 2006년에 AES 알고리즘을 대상으로 비트 슬라이스 구현에 관한 연구가 수행되었다[22]. 이후, 2016년에는 PRINCE, LED, RECTANGLE 블록 암호를 대상으로 AVR 8bit 환경에서 비트 슬라이스 구현에 관한 연구가 수행되었으며[23], 2018년에는 LED 알고리즘을 대상으로 64bit 환경인 ARM Cortex-A53에서 비트 슬라이스 구현 연구가 수행되었다[24]. 또한, 최근에는 암호 알고리즘을 설계하면서 비트 슬라이스 구현을 고려하여 암호 알고리즘의 S-box를 비트 단위의 논리 연산자로 구성하기도 한다. PIPO, RoundRunnR[25] 등의 알고리즘이 비트 슬라이스로 구현될 수 있는 S-box를 가진다.

그러나 국내 경량 블록 암호 알고리즘을 대상으로 한 비트 슬라이스 구현 연구는 매우 제한적으로 이뤄졌다. 2012년에 HIGHT 알고리즘을 대상으로 비트 슬라이스 구현 연구가 수행되었으나[26], 32/64bit PC 운영체제에서만 실험을 진행했다는 한계점이 존재한다.

이에, 본 논문은 ARX 기반 암호 알고리즘을 대상으로 비트 슬라이스 기법을 적용하는 방법론을 소개하고, ARX 기반 국내 블록 암호 HIGHT, CHAM을 대상으로 비트 슬라이스 기법을 적용한 결과를 소개한다. 또한, 비트 슬라이스 구현한 알고리즘에 대한 성능을 각각 32-bit, ARM Cortex M4, x86 PC 환경에서 측정하여 비교한다.

비트 슬라이스 구현 기법을 임의의 블록 암호에 적용하기 위해서는 다음의 내용을 고려해야 한다.

- 암호 알고리즘의 동작 과정을 AND, OR, NOT 등과 같

- 이 간단한 논리 게이트의 조합으로 변경 가능해야 함
- 레지스터의 수가 적으면 일부 데이터를 메모리에 저장하는 오버헤드가 발생함
- packing, unpacking 과정의 오버헤드를 고려하여 비트 슬라이스 구현 여부를 결정해야 함

2-3 대상 암호 알고리즘

본 논문에서는 PIPO, HIGHT, CHAM 알고리즘을 대상으로 최적화 구현을 수행한다. 본 논문에서 다루는 최적화 구현 기법은 암호 알고리즘의 라운드 동작 과정을 대상으로 최적화를 수행하므로 본 절에서는 각 알고리즘의 라운드 동작 과정만을 소개한다.

1) PIPO 알고리즘

PIPO는 64-bit 크기의 평문, 128/256-bit 크기의 키를 사용하는 SPN 구조 암호 알고리즘이다. PIPO는 128-bit 키 사용 시 13라운드, 256-bit 키 사용 시 17라운드로 구성되며, 각 라운드는 AddRoundKey, S-Layer, P-Layer로 구성된다. PIPO는 8×8bit 배열의 상태(state)로 동작하며, 전체적인 동작 과정은 그림 3과 같다.

라운드 과정 중 AddRoundKey 과정은 라운드 키 RK_i 와 라운드 상수 C_i 를 입력 평문과 XOR 연산하는 과정이다. S-Layer는 8×8bit 상태 배열의 열 단위로 S-box 테이블을 참조하는 과정이다. 테이블 참조 구현 시 S-box 테이블 참조를 위해 가로 행과 세로 열의 비트를 변경하는 연산이 테이블 참조 전후로 수행되어야 한다. R-Layer는 8×8bit 상태 배열의 행 단위로 Rotation 연산을 수행하는 과정이다. 첫 번째 행은 Rotation 연산을 수행하지 않으며, 두 번째 행부터 7, 4, 3, 6, 5, 1, 2-bit Rotation 연산을 수행한다.

2) HIGHT 알고리즘

HIGHT 알고리즘은 ARX 기반 경량 블록 암호로 64-bit 길이의 평문, 128-bit 키 길이를 가진다. 저전력 프로세서에서 효율적으로 동작할 수 있게 8bit 단위의 Addition, Rotation, Xor 연산으로 라운드 동작 과정이 구성되어 있으며, 32라운드로 동작한다. HIGHT 알고리즘의 라운드 동작 과정은 그림 4와 같다.

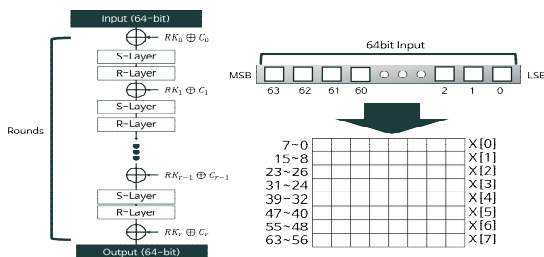


그림 3. PIPO 알고리즘 동작 과정과 상태
Fig. 3. The process and state of PIPO

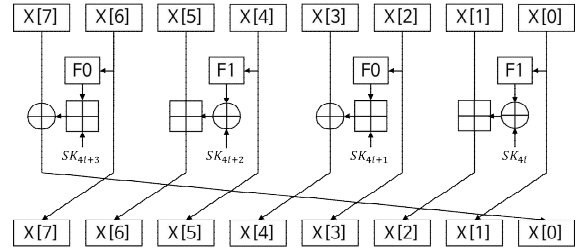


그림 4. HIGHT 암호 알고리즘 동작 과정
Fig. 4. The process of HIGHT cipher

그림 4의 F0 연산은 $F_0(X) = X \ll 1 \otimes X \ll 2 \otimes X \ll 7$ 으로 정의되며, F1 연산은 $F_1(X) = X \ll 3 \otimes X \ll 4 \otimes X \ll 6$ 으로 정의된다.

3) CHAM 알고리즘

CHAM 알고리즘은 ARX 기반 경량 블록 암호로 평문과 키 길이가 다른 CHAM-64/128, CHAM-128/128, CHAM-128/256 세 가지 인스턴스가 존재한다. 각 인스턴스에 대한 평문의 비트 수, 라운드, 워드 크기는 표 1와 같다.

표 1. CHAM 알고리즘의 3가지 인스턴스
Table 1. 3 Instance of CHAM cipher

Cipher	Plaintext Length	Key Length	Round	Word Size
CHAM-64/128	64bits	128bits	88	16bits
CHAM-128/128	128bits	128bits	112	32bits
CHAM-128/256	128bits	256bits	120	32bits

CHAM 알고리즘의 인스턴스 중 CHAM-64/128은 워드 크기로 인해 저전력 프로세서에서 효율적으로 동작하지만, 범용 환경에서는 상대적으로 비효율적으로 동작한다. 본 연구는 범용 환경에서 CHAM-64/128 알고리즘을 32bit 및 범용 환경에서 효율적으로 동작시키기 위해 비트 슬라이스 구현을 수행하였다. CHAM 알고리즘의 라운드 함수는 그림 5와 같다.

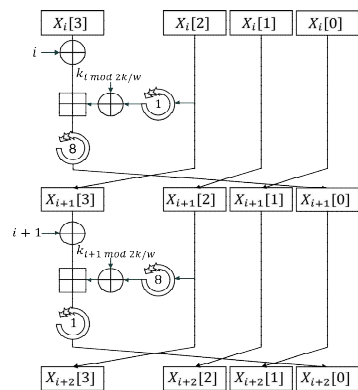


그림 5. CHAM 알고리즘 동작 과정
Fig. 5. The process of CHAM cipher

III. 제안하는 최적화 구현 방안

3장에서는 2장에서 소개한 최적화 구현 기법을 특정 블록 암호 알고리즘에 적용하는 방법을 설명한다. 3.1절에서는 CTR 모드 최적화 구현 기법을 블록 암호 알고리즘에 적용하는 방법을 소개하고, PIPO 알고리즘에 적용한 결과를 설명한다. 3.2절에서는 ARX 기반 암호 알고리즘을 대상으로 비트 슬라이스 구현 기법을 적용하는 방법을 설명하고, HIGHT, CHAM 알고리즘에 비트 슬라이스 기법을 적용한 결과를 설명한다.

3-1 CTR 모드 최적화 구현 적용 방법과 PIPO 알고리즘에의 적용

CTR 모드 최적화 구현 기법은 1씩 증가하는 카운터 값에 따라 자주 변하는 하위 몇 비트를 제외한 나머지 평문의 비트들이 고정되어 동일하게 입력된다는 특징을 이용하는 최적화 구현 기법이다. 본 논문에서는 CTR 모드로 동작하는 암호 알고리즘의 입력 평문 블록 중 카운터 값의 증가로 변경되지 않는 영역을 고정 영역이라 정의하고, 평문 블록 중 카운터 값의 증가로 변경되는 비트의 영역을 카운터 영역이라 정의한다. 카운터 영역은 입력 평문으로부터 LSB n 비트로 구성되며, 고정 영역은 나머지 비트로 구성된다. CTR 모드 최적화 구현 기법은 고정 영역에 대한 연산 결과를 사전 계산하여 이후의 여러 입력 블록에 대한 암호 알고리즘의 동작 과정을 생략, 축소하여 최적화한다.

CTR 모드 최적화 구현 기법이 적용되는 임의의 알고리즘은 Confusion과 Diffusion 원리를 기반으로 설계되고, 워드 단위로 동작한다고 가정한다. 본 논문에서 제안하는 임의의 알고리즘을 대상으로 CTR 모드 최적화 구현 기법을 적용하는 방안은 다음과 같다.

먼저, 입력 평문 블록의 카운터 영역과 고정 영역을 설정한다. 카운터 영역의 크기는 임의로 지정할 수 있다. 그 이유는 카운터 영역의 길이만큼 고정 영역에 대한 연산을 생략하는 캐시 테이블을 구성하여 사용할 수 있으며, 카운터 값이 고정 영역의 비트를 변경할 때 구성된 캐시 테이블을 변경된 고정 영역에 맞게 새로 갱신할 수 있기 때문이다. 그러나, 카운터 영역 및 고정 영역의 크기는 암호 알고리즘의 동작상의 특징 고 실행 환경을 고려하여 설정해야 한다. 카운터 영역의 크기가 작다면 고정 영역의 범위가 증가해, 생략/축소할 수 있는 연산의 범위가 커지지만, 사전 계산 테이블을 자주 갱신해야 하는 문제점이 있다. 또한, 카운터 영역의 크기가 너무 크다면 사전 계산 테이블의 크기가 너무 커질 수 있고 고정 영역이 줄어들어 생략/축소할 수 있는 연산의 범위가 줄어들 수 있다. 카운터 영역의 크기는 주로 암호 알고리즘의 워드 사이즈의 배수로 설정할 수 있다.

두 번째 과정으로, 고정 영역의 비트/워드만으로 암호 알고리즘의 Confusion이 수행되는 영역을 탐색하여 해당 연산을 생략한다. 카운터 영역을 대상으로 Confusion이 수행된다면 해당 영역은 매 실행마다 다른 입력값에 따라 다른 출력을 생성한다. 고정 영역만을 대상으로 Confusion이 수행된다면, 해당 영역은 매 실행마다 동일한 출력을 생성한다. 따라서, 고정 영역만을 입력으로 하는 Confusion 과정의 출력값을 사전 테이블에 저장하여 생략할 수 있다.

세 번째 과정은 설정한 카운터 영역의 비트/워드와 고정 영역의 비트/워드와 연관되어 Confusion 과정이 이뤄지는 범위를 탐색하여 연산 생략을 고려한다. 입력 평문 중 고정 영역의 비트/워드가 카운터 영역의 비트/워드와 연관되어 Confusion이 수행될 시, 카운터 영역의 비트 범위가 한정되므로 Confusion 출력의 범위가 제한된다. 따라서, 카운터 영역에 올 수 있는 값에 대한 Confusion 출력을 캐시 테이블에 저장하여 연산을 생략할 수 있다. 그러나 캐시 테이블의 크기를 고려하여 암호 알고리즘의 특성과 운영 환경에 맞게 해당 연산의 생략 여부를 결정해야 한다. 이후 Confusion 출력을 모두 카운터 영역으로 취급한다.

마지막 과정은 암호 알고리즘의 Diffusion 과정을 고려하여 캐시 테이블을 설정하는 과정이다. Diffusion 과정은 카운터 영역의 입력값과 무관하게 동일한 과정이 수행된다. 따라서, 캐시 테이블을 이용하여 해당 Diffusion 연산이 수행된 이후의 위치로 비트를 배치하여 Diffusion 연산을 생략할 수 있다. 그러나, 암호 알고리즘의 Diffusion 과정이 비트 단위로 수행되는 등의 과정으로 인해 캐시 테이블에 저장된 값을 블록에 배치하는 연산량보다 해당 암호 알고리즘 동작 과정 연산량이 더 적거나, 캐시 테이블이 너무 커지는 경우가 존재한다. 따라서 암호 알고리즘의 특성과 운영 환경에 따라 암호 알고리즘의 연산을 결정한다.

본 논문에서 제안하는 CTR 모드 최적화 구현 기법 적용 방법론은 Confusion과 Diffusion 원리를 기반으로 설계되고 워드 단위로 동작하는 임의의 암호 알고리즘에 적용할 수 있다. 본 논문은 제안하는 방법론을 예를 들어 설명하기 위해 그림 6과 같이 동작하는 임의의 암호 Cipher_A를 설정하였다.

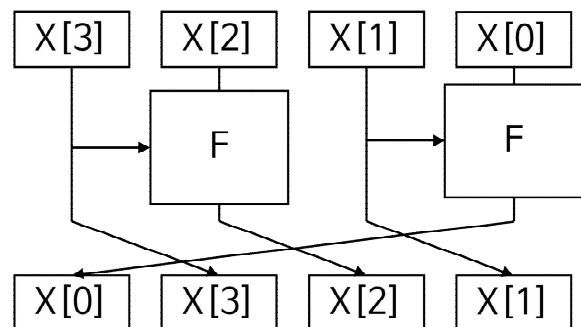


그림 6. 임의의 알고리즘 Cipher_A 동작 과정
Fig. 6. The encryption process of Cipher_A

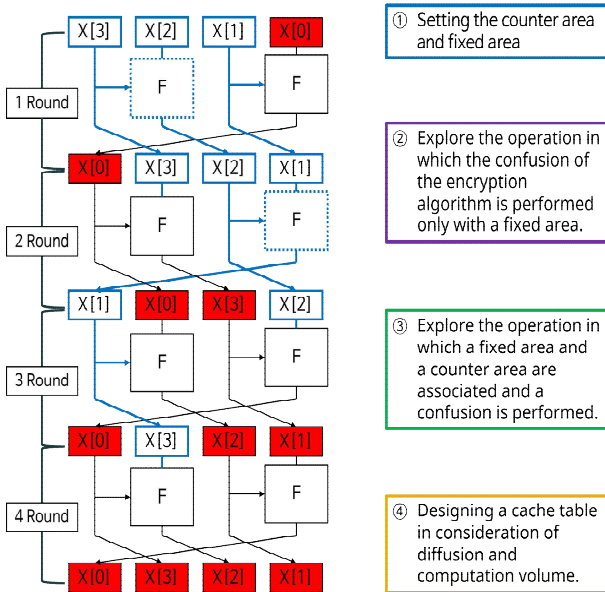


그림 7. Cipher_A 암호 알고리즘을 대상으로 CTR 모드 최적화 구현 적용 과정

Fig. 7. The application of CTR mode optimization Implementation on Cipher_A

그림 7은 제안하는 CTR 모드 적용 방법론에 따라 Cipher_A를 최적화 구현하는 과정을 보여준다. 첫 번째 과정으로 카운터 영역을 1워드 크기로 설정하였다. 이후 두 번째 과정으로 고정 영역만으로 입력이 구성된 Confusion 과정을 찾는다. X[2]와 X[3]을 입력으로 하는 첫 번째 라운드 F함수와, 2라운드의 X[1]과 X[2]를 입력으로 하는 F함수가 고정 영역만을 입력으로 한다. 해당 영역에 대한 연산 결과를 캐시 테이블에 저장하는 것으로 해당 연산을 생략할 수 있다. 세 번째 과정으로 고정 영역과 카운터 영역이 연관되어 Confusion 과정이 수행되는 과정을 탐색한다. 1라운드의 X[0]와 X[1]을 입력으로 하는 F 연산이 이에 해당되며, 해당 연산 결과를 캐시 테이블에 저장해서 연산 생략을 고려할 수 있다. Cipher_A의 1워드 크기가 8-bit 라고 했을 때, 해당 연산을 생략하기 위해서는 $2^8 \times 8$ bits 크기의 캐시 테이블이 필요하다. 이후의 2라운드 X[0], X[3]을 입력으로 하는 F연산 또한 생략을 고려할 수 있으며, 해당 연산 결과를 캐시 테이블에 저장하기 위해서는 추가적으로 $2^8 \times 8$ bits 크기가 더 필요하다. 고정 영역과 카운터 영역이 연관되어 Confusion 과정이 수행되는 과정에 대한 캐시 테이블 구성은 암호 알고리즘을 동작시키는 환경을 고려하여 결정한다. 마지막, 네 번째 과정으로는 Diffusion을 고려하여 캐시 테이블을 설계하는 과정이다. Cipher_A 알고리즘은 워드 단위의 Diffusion 연산만으로 구성되어 있으므로 캐시 테이블에 저장된 값을 바로 평문 블록에 대입할 수 있어 고려하지 않는다.

1) PIPO 알고리즘 CTR 모드 최적화 구현 적용

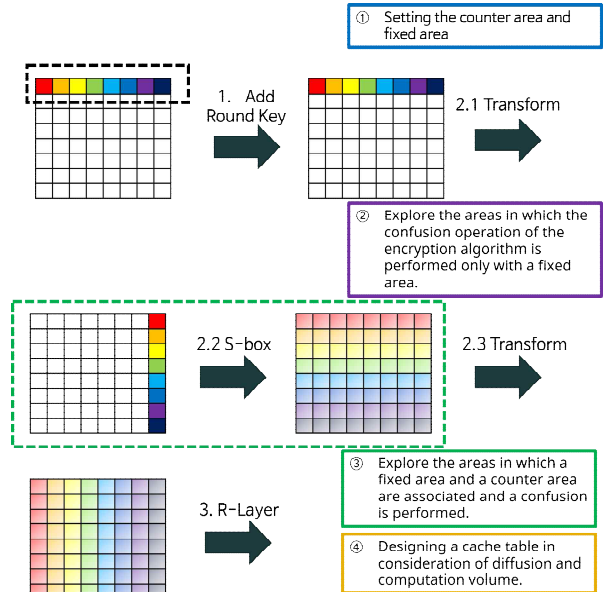


그림 8. PIPO 알고리즘 CTR 모드 최적화 구현 적용

Fig. 8. The application of CTR mode optimization Implementation on PIPO

PIPO 알고리즘을 대상으로 CTR 모드 최적화 구현을 적용하기 위해서는 다음과 같은 과정이 수행되어야 한다. 첫째로, 카운터 영역과 고정 영역을 결정한다. 둘째로, 고정 영역만으로 암호 알고리즘의 Confusion이 수행되는 영역을 탐색한다. 셋째로, 고정 영역과 카운터 영역이 연관되어 Confusion이 수행되는 영역을 탐색한다. 마지막으로, Diffusion 과정에 대한 연산량을 고려하여 캐시 테이블을 설정한다. PIPO 알고리즘을 대상으로 CTR 모드 최적화 구현이 적용되는 과정은 그림 8과 같다.

PIPO 알고리즘은 8×8 bit 배열의 상태로 동작하며, 카운터 영역은 비트 단위로 고려한다. 본 논문에서는 PIPO가 8-bit 환경을 대상으로 설계된 경량 암호임을 고려하여 8-bit 길이의 카운터 영역을 설정하였으며 2^8 회당 1회 사전 계산 테이블을 계산하도록 하였다. 그림 8에서는 PIPO 알고리즘의 입력 평문 블록 중 카운터 영역을 색으로 표현하였으며, 고정 영역을 흰색으로 표현하였다. PIPO 알고리즘의 동작 과정에 따라 각 카운터 영역의 비트가 고정 영역의 비트에 영향을 주는 범위를 각 카운터 영역의 색으로 표현하였다.

먼저, PIPO 알고리즘의 AddRoundKey 과정은 입력의 모든 비트가 독립적으로 라운드 키의 비트와 XOR 연산을 수행하는 과정이다. 고정 영역에 대한 입력 평문과 라운드 키 입력이 동일하므로 고정 영역에 대해 연산 결과를 캐시 테이블에 저장하여 연산 과정을 생략할 수 있다.

이후의 과정인 S-Layer는 8×8 bit 배열의 열 단위로 수행되는 연산으로, 테이블 참조 연산의 경우 행과 열의 비트를 재조합하는 transform 연산이 S-box 참조 연산 전후로 수행되어야 한다. S-box 테이블 참조의 입력값은 카운터 영역 1bit 그리고 고정 영역 7bit로 구성되어 있다. 따라서, S-box

출력 값은 1bit 카운터 영역에 의해 결정되며 S-box 출력에 대한 사전 계산 테이블을 통해 생략 가능하다. 이때 사전 계산 테이블의 크기는 $8 \times 2 \times 8\text{bits}$ 이다. 이후 S-box 출력을 모두 카운터 영역으로 취급한다. 이후 PIPO 알고리즘의 Confusion 연산은 모두 카운터 영역으로만 입력이 이뤄지기 때문에 고려하지 않는다.

S-box 이후 Diffusion 연산인 행과 열의 비트 순서가 변경되는 연산, 그리고 R-Layer 연산이 수행된다. 상태의 모든 비트가 카운터 영역이 되었으므로, Diffusion 연산 결과 비트를 모두 테이블에 저장해야 해당 연산을 생략할 수 있다. R-Layer의 연산 결과를 캐시 테이블에 저장한다면 캐시 테이블의 크기는 $16,384(2^8 \times 64)\text{bits}$ 가 된다. 캐시 테이블의 크기가 너무 큰 경우 자원이 제한된 환경에서 비효율적으로 동작할 수 있으므로, 연산의 축소/생략 없이 PIPO 알고리즘의 동작 과정을 그대로 수행하도록 한다.

따라서 PIPO 알고리즘을 대상으로 CTR 모드 최적화 구현 기법을 통해 1 라운드 연산을 최적화 할 수 있다. 최적화 구현에 사용되는 캐시 테이블은 카운터 영역 8bit에 대한 S-box 출력 결과로 구성된 $128(8 \times 2 \times 8)\text{bit}$ 크기로 구성된다. 사전 계산 캐시 테이블을 사용해 PIPO 알고리즘 동작 중 AddRound Key 과정과 S-Layer의 Transform 과정을 1회 생략할 수 있으며, 사전 계산은 $256(2^8)$ 회당 1회 수행된다.

3-2 ARX 기반 암호 알고리즘을 대상으로 한 비트 슬라이스 구현 방법과 HIGHT, CHAM 알고리즘에의 적용

ARX 기반 암호는 Addition, Rotation, XOR의 3가지 연산만 사용하여 암호화를 수행하는 암호를 의미한다. 알고리즘이 간단하여 구현하기가 쉽고 timing attack에 저항성이 있다는 장점이 있다.

ARX 기반 암호 알고리즘을 비트 슬라이스로 구현하기 위해서는 Addition, Rotation, XOR 연산을 각각 비트 단위의 논리 게이트의 조합으로 변환해야 한다. 본 논문은 다음과 같은 방법으로 ARX 기반 암호 알고리즘의 각 연산을 비트 단위로 처리되게 하여 비트 슬라이스로 구현 가능하게 하였다.

1. Addition 연산은 워드 단위로 동작하는 연산으로 받아들임(carry) 값 때문에 여러 비트가 연관되어 동작한다. 이를 비트 단위의 동작으로 변환하기 위해 carry 변수를 할당하고 Full Adder 논리 구조를 적용하였다. 워드 단위의 마지막 비트 자리부터 동작하며, 할당한 carry 변수를 포함한 세 비트에 대한 논리 연산자 조합으로 덧셈 결과 값과 carry 번숫값을 결정한다. 이 중 첫 번째 비트와 마지막 비트는 각각 이전 carry 값과 이후의 carry 값을 고려하지 않아도 되므로, n 비트 워드 단위의 덧셈 연산이라고 할 때, 비트 슬라이스로 변환한 총 논리 연산자의 숫자는 XOR 연산자 $2n-1$ 개 AND 연산자 $2n-3$ 개, OR 연산자 $n-2$ 개로 결정된다.

2. Rotation 연산은 워드 단위의 Rotation 연산과 비트 단위의 Rotation 연산으로 분류된다. 먼저 워드 단위의 Rotation 연산은 두 가지 방법으로 변환 가능하다. 첫 번째 방법은 워드 단위 Rotation 연산 전/후의 라운드 동작 과정을 매크로로 정의하여 라운드 동작마다 각 라운드에 맞는 입력 블록 비트 인덱스를 전달하여 워드 단위의 Rotation 연산을 한 효과를 주는 방법이다. 두 번째 방법은 워드 단위의 Rotation을 워드 숫자만큼 수행하여 동일한 워드가 동일한 라운드 함수 동작 과정을 수행할 때까지의 라운드를 재구성하는 방법이다.

비트 단위의 Rotation 연산은 워드 내의 비트의 순서를 변경하는 연산이다. 비트 슬라이스 구현은 입력 블록이 이미 비트 단위로 분리되어 암호 알고리즘의 라운드 과정을 진행하기 때문에, 라운드 함수 입력값의 인덱스를 계산하여 조절하는 것으로 rotation이 수행된 효과를 줄 수 있다. 만약 8bit 워드 w에서 1bit rotation 연산을 수행해야 한다면 다음 라운드 동작에서 $w[k]$ 대신 $w[(k+7)\%8]$ 을 입력으로 전달하여 1bit rotation 연산을 수행한 효과를 줄 수 있다.

3. Xor 연산은 비트 단위의 연산이기 때문에 별도의 변환 과정을 수행하지 않는다.

1) HIGHT 비트 슬라이스 구현

본 논문은 HIGHT의 8bit 덧셈 연산을 그림 9와 같이, 그리고 F0 비트 단위 rotation 연산을 그림 10과같이 매크로로 정의하였다. 또한, HIGHT 라운드 함수를 그림 11과같이 정의하였으며, HIGHT 암호화 과정은 그림 12과같이 라운드 함수에 매개변수를 입력하는 것으로 비트 슬라이스 구현을 수행하였다. packing 과정과 unpacking 과정은 swapmove 기법[27]을 그림 13과같이 매크로로 구현하여 진행하였다.

```
#define A_plus_B(A, B) { \
    carry = A[0] & B[0]; A[0] = A[0] ^ B[0]; \
    \
    tmp_xor = A[1] ^ B[1]; tmp_A = A[1]; A[1] = tmp_xor ^ carry; \
    carry = (tmp_A & B[1]) | (tmp_xor & carry); \
    \
    tmp_xor = A[2] ^ B[2]; tmp_A = A[2]; A[2] = tmp_xor ^ carry; \
    carry = (tmp_A & B[2]) | (tmp_xor & carry); \
    \
    tmp_xor = A[3] ^ B[3]; tmp_A = A[3]; A[3] = tmp_xor ^ carry; \
    carry = (tmp_A & B[3]) | (tmp_xor & carry); \
    \
    tmp_xor = A[4] ^ B[4]; tmp_A = A[4]; A[4] = tmp_xor ^ carry; \
    carry = (tmp_A & B[4]) | (tmp_xor & carry); \
    \
    tmp_xor = A[5] ^ B[5]; tmp_A = A[5]; A[5] = tmp_xor ^ carry; \
    carry = (tmp_A & B[5]) | (tmp_xor & carry); \
    \
    tmp_xor = A[6] ^ B[6]; tmp_A = A[6]; A[6] = tmp_xor ^ carry; \
    carry = (tmp_A & B[6]) | (tmp_xor & carry); \
    \
    A[7] = (A[7] ^ B[7]) ^ carry; \
}
```

그림 9. HIGHT 알고리즘 덧셈 연산 구현 매크로

Fig. 9. The macro of addition operation on HIGHT cipher


```
#define F0_tmp_setting(A){\
    tmp_F[0] = A[7] ^ A[6] ^ A[1];\
    tmp_F[1] = A[0] ^ A[7] ^ A[2];\
    tmp_F[2] = A[1] ^ A[0] ^ A[3];\
    tmp_F[3] = A[2] ^ A[1] ^ A[4];\
    tmp_F[4] = A[3] ^ A[2] ^ A[5];\
    tmp_F[5] = A[4] ^ A[3] ^ A[6];\
    tmp_F[6] = A[5] ^ A[4] ^ A[7];\
    tmp_F[7] = A[6] ^ A[5] ^ A[0];\
}
```

그림 10. HIGHT 알고리즘 F0 연산 구현 매크로
 Fig. 10. The macro of F0 operation on HIGHT cipher

```
#define HIGHT_round(i1, i2, i3, i4, i5, i6, i7, i8, k1, k2, k3, k4){\
    F0_tmp_setting((X+i2));\
    A_A_xor_B_plus_C((X + i1), tmp_F, (key_byte + k1));\
    F1_tmp_setting((X + i4), (key_byte + k2));\
    A_plus_B((X + i3), tmp_F);\
    F0_tmp_setting((X + i6));\
    A_A_xor_B_plus_C((X + i5), tmp_F, (key_byte + k3));\
    F1_tmp_setting((X + i8), (key_byte + k4));\
    A_plus_B((X + i7), tmp_F);\
}
```

그림 11. HIGHT 알고리즘 라운드 구현 매크로
 Fig. 11. The macro of round on HIGHT cipher

```
HIGHT_round(56, 48, 40, 32, 24, 16, 8, 0, 88, 80, 72, 64); // round 2
HIGHT_round(48, 40, 32, 24, 16, 8, 0, 56, 120, 112, 104, 96); // round 3
HIGHT_round(40, 32, 24, 16, 8, 0, 56, 48, 152, 144, 136, 128); // round 4
HIGHT_round(32, 24, 16, 8, 0, 56, 48, 40, 184, 176, 168, 160); // round 5
HIGHT_round(24, 16, 8, 0, 56, 48, 40, 32, 216, 208, 200, 192); // round 6
HIGHT_round(16, 8, 0, 56, 48, 40, 32, 24, 248, 240, 232, 224); // round 7
HIGHT_round(8, 0, 56, 48, 40, 32, 24, 16, 280, 272, 264, 256); // round 8
HIGHT_round(0, 56, 48, 40, 32, 24, 16, 8, 312, 304, 296, 288); // round 9
HIGHT_round(56, 48, 40, 32, 24, 16, 8, 0, 344, 336, 328, 320); // round 10
HIGHT_round(48, 40, 32, 24, 16, 8, 0, 56, 376, 368, 360, 352); // round 11
HIGHT_round(40, 32, 24, 16, 8, 0, 56, 48, 408, 400, 392, 384); // round 12
HIGHT_round(32, 24, 16, 8, 0, 56, 48, 40, 440, 432, 424, 416); // round 13
HIGHT_round(24, 16, 8, 0, 56, 48, 40, 32, 472, 464, 456, 448); // round 14
HIGHT_round(16, 8, 0, 56, 48, 40, 32, 24, 504, 496, 488, 480); // round 15
```

그림 12. 매크로 변수 설정 - 워드 단위 rotation 연산
 Fig. 12. Macro variable setting - HIGHT word unit rotation operation

```
#define swapmove32(b, a, n, m){ \
    uint32_t t = (b ^ ((a <<n) | (a >>(32-n)))) & m;\
    b = b ^ t;\
    a = a ^ ((t >> n) | (t << (32-n))); \
}
```

그림 13. SWAPMOVE 매크로 구현
 Fig. 13. The macro of SWAPMOVE

2) CHAM 비트 슬라이스 구현

본 논문은 CHAM-64/128 알고리즘의 덧셈 연산을 그림 9와 같이 8bit 덧셈 연산으로 구현하였으며, 홀수, 짝수 라운드로 이뤄진 CHAM 라운드 동작 과정을 그림 14과 같이 4라운드 구조로 변경하여 워드 단위의 rotation 연산을 수행한 것과 같은 동작을 수행하게 했다. 또한, 비트 단위의 rotation 연산은 각 라운드가 끝나는 시점에서 이뤄지기 때문에, 그림 15와 같이 배열 인덱스를 설정하여 매 라운드 마다 rotation 연산이 수행된 것과 같이 동작하게 하였다. 마지막으로, packing 및 unpacking 과정은 HIGHT 비트 슬라이스 구현과 동일하게 그림 13의 swapmove 매크로를 사용하여 구현하였다.

IV. 실험

4장은 CTR 모드 최적화 구현 기법, 비트 슬라이스 구현 기법을 암호 알고리즘에 적용한 결과에 대한 실험 결과를 소개한다. 4.1절에서는 CTR 모드 최적화 구현 기법을 PIPO 알고리즘에 적용하여 8bit AVR, PC 환경에 적용한 결과 소개한다. 또한, 4.2절에서는 비트 슬라이스 구현 기법을 CHAM, HIGHT에 적용하여 32bit ARM Cortex M4 디바이스와 PC 환경에서 적용한 결과를 소개한다.

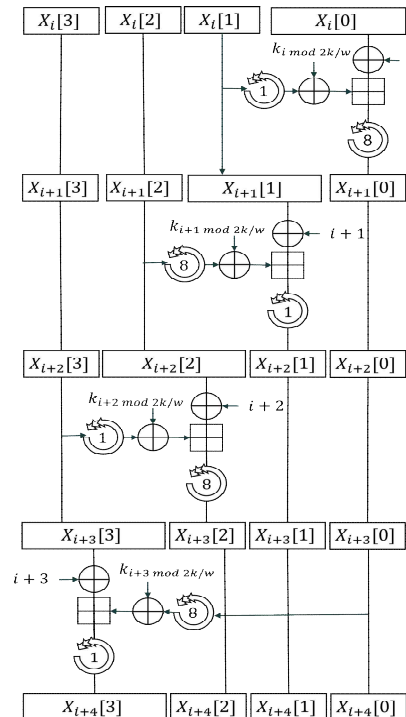


그림 14. 4라운드 동작 과정으로 변경된 CHAM 알고리즘
 Fig. 14. The 4th round operation process of CHAM cipher

```
if (i % 4 == 0) {
    carry = 0;
    for (int j = 0; j < 32; j++) {
        //tmp1 = ROTL_1((rt_prev[j]) XOR tmp1);
        tmp1_bs[j] = ((x1[(((i / 4) * 31) + 31 + j) % 32]) ^ (((((32 * i) + j) % 256) // +31));
        //X[0] ^ i;
        XOR(((24 * (i / 4) + j) % 32) ^ i_bs((32 * i) + j));
        //X[0] + tmp1;
        tmp_A = XOR(((24 * (i / 4) + j) % 32));
        tmp_xor = XOR(((24 * (i / 4) + j) % 32) ^ tmp1_bs[j]);
        XOR(((24 * (i / 4) + j) % 32) ^ tmp_xor ^ carry);
        carry = (tmp_xor & carry) | (tmp_A & tmp1_bs[j]);
    }
}
```

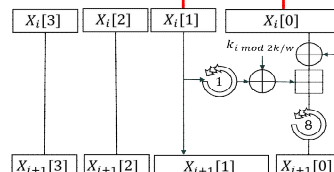


그림 15. CHAM 비트 단위 rotation 연산
 Fig. 15. CHAM bit unit rotation operation

4-1 CTR 모드 최적화 구현 기법 적용 실험 결과

본 논문은 임의의 알고리즘을 대상으로 CTR 구현 기법을 적용하는 방법론을 제안하였으며 제안한 방법론을 이용하여 PIPO 알고리즘의 테이블 참조 구현을 최적화하였다. 본 논문에서는 PIPO 알고리즘의 공개 레퍼런스 코드의 1 라운드를 수정하여 최적화 구현을 수행하였으며, 나머지 라운드는 레퍼런스 코드와 동일한 코드를 사용하였다. PIPO 알고리즘은 8bit 환경을 대상으로 설계된 암호 알고리즘으로, 본 논문에서는 8bit AVR 과 x86 PC 환경에서 최적화 성능 측정을 수행하였다. 구현물의 이름과 설명은 표 2와 같다.

표 2. CTR 모드 최적화 구현 기법 구현물 설명
Table 2. Description of CTR optimization implementation

Cipher	Implementation	Description
PIPO-64/128	PIPO-LUT_REF	PIPO open reference code
	PIPO-LUT_CTR_opt	Implementing CTR mode optimization of PIPO open reference code
	PIPO-CTROpt-cal	Cache table generating code of CTR mode optimization implementation

8-bit 환경에서의 성능 측정 실험은 Atmel Studio를 이용하여 ATmega128 보드 시뮬레이터에서 성능을 측정하였으며 최적화 레벨은 0으로 하여 구현물의 성능을 비교했다. 성능 측정은 라운드 키를 생성하는 키 스케줄 과정을 제외하고 암호화가 진행되는 라운드 동작 함수만을 대상으로 했다. Atmel Studio의 디버깅 모드를 활용하여 성능을 측정하였다. 레퍼런스 코드와 최적화 구현물의 성능을 측정된 결과는 표 3과 같다. CTR 모드 최적화 구현을 위해 사전 계산을 수행하는 함수가 256회당 1회 수행됨을 고려하면, CTR 모드 최적화 구현물이 기존 레퍼런스 코드보다 3.96% 더 빠르게 암호화를 수행함을 확인할 수 있다.

x86 환경에서의 성능 측정 실험은 Windows 운영체제와 Intel Core i7-6700 CPU를 사용하는 환경에서 성능을 측정하였다. Visual Studio의 최적화 레벨 0으로 설정하여 c언어로 작성된 코드를 컴파일 하였으며, Windows 에서 CPU 클럭을 받아오는 QueryPerformanceCounter 함수를 사용하여 최적화 구현물의 실행 시간을 측정했다[28]. x86 환경 PC에서 최적화 구현물의 성능을 측정된 결과는 표 4와 같다. x86 환경 PC에서 최적화 구현물이 레퍼런스 코드보다 5.48% 더 빠르게 암호화가 수행됨을 확인하였다.

표 3. 8bit 환경 Atmega128에서의 최적화 구현물 성능 측정
Table 3. Implementation performance in 8bit Atmega128 environment

Cipher	Implementation	Word Size	Performance (Cycle)	Improvement
PIPO-64/128	PIPO_REF	8bits	256557	3.96%
	PIPO_CTRopt	8bits	246750	
	PIPO-CTROpt-cal	8bits	3714	

표 4. x86 환경 PC에서의 CTR 모드 최적화 구현물 성능 측정
Table 4. CTR mode optimization implementation performance in x86 PC environment

Cipher	Implementation	Word Size	Performance (CPU tick)	Improvement
PIPO-64/128	PIPO_REF	8bits	65.277526	5.487238%
	PIPO_CTRopt	8bits	61.860895	
	PIPO-CTROpt-cal	8bits	5.381860	

표 5. 비트 슬라이스 구현물 설명
Table 5. Description of bitslice implementation

Cipher	Implementation	Description
CHAM-64/128	CHAM-REF	Implementation without optimization
	CHAM-BS32	Implementation using bitslice technique that parallelizes 32 plaintext
HIGHT-64/128	HIGHT-REF	HIGHT reference code from KISA [1]
	HIGHT-BS32	Implementation using bitslice technique that parallelizes 32 plaintext

표 6. 32bit 환경 STM32F407G-DISC에서의 비트 슬라이스 최적화 구현물 성능 측정
Table 6. Bitslice implementation performance in 32bit STM32F407F-DISC environment

Cipher	Implementation	Word Size	Performance (Cycle)	Improvement
CHAM-64/128	CHAM-REF	16 bits	594916	100.32%
	CHAM-BS32	32 bits	296978	
HIGHT-64/128	HIGHT-REF	8 bits	115006	18.48%
	HIGHT-BS32	32 bits	97064	

표 7. x86 환경 PC에서의 비트 슬라이스 최적화 구현물 성능 측정
Table 7. Bitslice implementation performance in x86 PC environment

Cipher	Implementation	Word Size	Performance (CPU tick)	Improvement
CHAM-64/128	CHAM-64-128-REF	16 bits	349.205416	140.26%
	CHAM-64-128-BS32	32 bits	145.344741	
HIGHT-64/128	HIGHT_REF	8bits	101.734684	79.25%
	HIGHT_BS32	32 bits	56.756404	

4-2 비트 슬라이스 구현 기법 적용 실험 결과

본 논문은 ARX 기반 암호 알고리즘을 대상으로 비트 슬라이스 구현 방법을 제안하였으며 제안하는 방법론을 사용하여 HIGHT, CHAM을 비트 슬라이스 구현하였다. 비트 슬라이스 구현과 레퍼런스 코드 모두 동일한 연산을 수행하도록 하였다. 실험은 32bit 환경과 x86환경 PC에서 수행되었다. 구현물의 이름과 설명은 표 5와 같다.

32bit 환경은 ARM Cortex M4 프로세서를 사용하는 STM32F407G-DISC1 보드를 사용하여 성능을 측정하였다. STM32Cube IDE 1.7.0을 사용하여 c언어로 코드를 작성하였고, 최적화 레벨을 0으로 하여 성능을 측정하였다. 성능 측정은 DWT 레지스터를 사용하여 구현물의 클럭 사이클을 측정하였다[29]. 32bit 환경에서의 레퍼런스 코드와 최적화 구현물의 성능을 측정한 결과는 표 6와 같다. 32bit 환경에서 16bit 환경을 대상으로 설계된 CHAM-64/128 암호 알고리즘과 8bit 환경을 대상으로 설계된 HIGHT 알고리즘은 각각 100%, 18.48%의 성능 향상이 이뤄졌다.

실험을 진행한 PC 환경은 CTR 모드 최적화 구현에 대한 성능을 측정한 x86 PC 환경과 동일한 환경을 사용하였다. x86 PC에서 최적화 구현물에 대한 성능을 측정한 결과는 표 7와 같다. CHAM-64/128의 경우에는 140% 성능 향상이 있었으며, HIGHT 알고리즘은 79.25% 성능 향상이 있었다.

V. 결 론

본 논문은 국산 블록암호를 대상으로 최적화 구현 연구를 수행하였다. 먼저, 임의의 블록 암호 알고리즘을 대상으로 CTR 모드 최적화 구현 기법을 적용시키는 방안을 제안하였으며, 제안한 방안을 사용하여 PIPO에 대한 최적화 구현을 수행하였다. 8bit 환경과 PC 환경에서 PIPO 알고리즘 레퍼런스 코드와 CTR 모드 최적화 구현물에 대한 성능을 측정하였다. CTR 모드 최적화가 수행된 PIPO 알고리즘은 8bit 환경에서 3.96% 성능 향상이 있었고, PC 환경에서 5% 성능 향상이 있었다.

또한, 본 논문은 비트 슬라이스 기법을 ARX 기반 암호 알고리즘에 적용하는 기법을 제안하였고, 제안하는 방안을 사용하여 HIGHT, CHAM 알고리즘에 대한 비트 슬라이스 구현을 수행했다. 32bit 환경, PC 환경에서 HIGHT, CHAM 알고리즘 레퍼런스 코드와 최적화 구현물에 대한 성능을 측정하였다. 16bit 환경을 대상으로 설계된 CHAM-64/128에 대한 비트 슬라이스 구현 결과 32bit 환경에서 100% 성능 향상이 이뤄졌고, PC 환경에서 140%의 성능 향상이 이뤄졌다. 8bit 환경을 대상으로 설계된 HIGHT 암호 알고리즘은 비트 슬라이스 기법을 적용한 결과 32bit 환경에서 18.48% 성능 향상이 이뤄졌으며, PC 환경에서 42% 성능 향상이 이뤄졌다.

향후 CTR 모드 최적화 구현 기법을 임의의 알고리즘을 대상으로 수행했을 때, 적절한 카운터 영역을 설정하는 방법을 연구를 수행할 예정이다. 또한, 어셈블리어 등을 활용하여

32bit와 PC 환경에 특화된 비트 슬라이스 구현 기법을 연구할 예정이다.

감사의 글

이 성과는 정부(과학기술정보통신부)의 재원으로 한국연구재단의 지원을 받아 수행된 연구임 (No. 2020R1F1A1076468)

참고문헌

- [1] CISCO. Cisco Annual Internet Report (2018-2023) White Paper [Internet]. Available : <https://www.cisco.com/c/en/us/solutions/collateral/executive-perspectives/annual-internet-report/white-paper-c11-741490.html>
- [2] Bogdanov, Andrey, et al. "PRESENT: An ultra-lightweight block cipher." International workshop on cryptographic hardware and embedded systems. Springer, Berlin, Heidelberg, 2007. https://doi.org/10.1007/978-3-540-74735-2_31
- [3] GOST, Gosudarstvennyi Standard 28147- 89, "Cryptographic Protection for Data Processing Systems", Government Committee of the USSR for Standards, 1989.
- [4] NIST CSRC. Lightweight Cryptography Finalist [Internet]. Available : <https://csrc.nist.gov/Projects/lightweight-cryptography/finalists>
- [5] Hong, Deukjo, et al. "HIGHT: A new block cipher suitable for low-resource device." International Workshop on Cryptographic Hardware and Embedded Systems. Springer, Berlin, Heidelberg, 2006. https://doi.org/10.1007/11894063_4
- [6] Hong, Deukjo, et al. "LEA: A 128-bit block cipher for fast encryption on common processors." International Workshop on Information Security Applications. Springer, Cham, 2013. https://doi.org/10.1007/978-3-319-05149-9_1
- [7] Koo, Bonwook, et al. "CHAM: A family of lightweight block ciphers for resource-constrained devices." International Conference on Information Security and Cryptology. Springer, Cham, 2017. https://doi.org/10.1007/978-3-319-78556-1_1
- [8] Roh, Dongyoung, et al. "Revised version of block cipher CHAM." International Conference on Information Security and Cryptology. Springer, Cham, 2019. https://doi.org/10.1007/978-3-030-40921-0_1
- [9] Kim, Hangi, et al. "PIPO: A Lightweight Block Cipher with Efficient Higher-Order Masking Software Implementations." International Conference on Information Security and Cryptology. Springer, Cham, 2020. https://doi.org/10.1007/978-3-030-68890-5_6
- [10] KISA. Approved Algorithm [internet]. Available : <https://se>

- ed.kisa.or.kr/kisa/kcmvp/EgovVerification.do
- [11] Kwon Jungsoo. Penta Security, Internet of Things Security KCMVP. [internet]. Available : <http://www.itdaily.kr/news/articleView.html?idxno=202913>
- [12] 2020 Unit 42 IoT Threat Report, March 2020, [online] Available: <https://unit42.paloaltonetworks.com/iot-threat-report-2020/>.
- [13] Nikolov, Neven, Ognyan Nakov, and Daniela Gotseva. "Operating Systems for IoT Devices." 2021 56th International Scientific Conference on Information, Communication and Energy Systems and Technologies (ICEST). IEEE, 2021. <http://doi.org/10.1109/ICEST52640.2021.9483469>
- [14] McGrew, David, and John Viega. "The Galois/counter mode of operation (GCM)." submission to NIST Modes of Operation Process 20 (2004): 0278-0070.
- [15] Dworkin, Morris. "Block Cipher Modes of Operation: The CCM Mode For Authentication and Confidentiality." NIST special publication 800 (2003): 38C.
- [16] Park, Jin Hyung, and Dong Hoon Lee. "FACE: Fast AES CTR mode encryption techniques based on the reuse of repetitive data." IACR Transactions on Cryptographic Hardware and Embedded Systems (2018): 469-499. <https://doi.org/10.13154/tches.v2018.i3.469-499>
- [17] Kim, Kyungho, et al. "FACE-LIGHT: fast AES-CTR mode encryption for Low-End microcontrollers." International Conference on Information Security and Cryptology. Springer, Cham, 2019. http://doi.org/10.1007/978-3-030-40921-0_6
- [18] Seo, Hwajeong, et al. "ACE: ARIA-CTR Encryption for Low-End Embedded Processors." Sensors 20.13 (2020): 3788. <https://doi.org/10.3390/s20133788>
- [19] Kim, YoungBeom, et al. "Efficient implementation of ARX-based block ciphers on 8-Bit AVR microcontrollers." Mathematics 8.10 (2020): 1837. <https://doi.org/10.3390/math8101837>
- [20] Song, JinGyo, and Seog Chung Seo. "Efficient Parallel Implementation of CTR Mode of ARX-Based Block Ciphers on ARMv8 Microcontrollers." Applied Sciences 11.6 (2021): 2548. <https://doi.org/10.3390/app11062548>
- [21] Biham, Eli. "A fast new DES implementation in software." International Workshop on Fast Software Encryption. Springer, Berlin, Heidelberg, 1997. <https://doi.org/10.1007/BFb0052352>
- [22] Rebeiro, Chester, David Selvakumar, and A. S. L. Devi. "Bitslice implementation of AES." International Conference on Cryptology and Network Security. Springer, Berlin, Heidelberg, 2006. https://doi.org/10.1007/11935070_14
- [23] Bao, Zhenzhen, Peng Luo, and Dongdai Lin. "Bitsliced implementations of the PRINCE, LED and RECTANGLE block ciphers on AVR 8-bit microcontrollers." International Conference on Information and Communications Security. Springer, Cham, 2015. https://doi.org/10.1007/978-3-319-29814-6_3
- [24] Eldosouky, AbdelRahman, and Walid Saad. "On the cybersecurity of m-health iot systems with led bitslice implementation." 2018 IEEE International Conference on Consumer Electronics (ICCE). IEEE, 2018. <http://doi.org/10.1109/ICCE.2018.8326298>
- [25] Baysal, Adnan, and Sühap Şahin. "Roadrunner: A small and fast bitslice block cipher for low cost 8-bit processors." Lightweight Cryptography for Security and Privacy. Springer, Cham, 2015. https://doi.org/10.1007/978-3-319-29078-2_4
- [26] Eun-Tae Baek, and Mun-Kyu Lee. "Speed-optimized Implementation of HIGHT Block Cipher Algorithm." Journal of the Korea Institute of Information Security & Cryptology 22.3 (2012): 495-504.
- [27] May, Lauren, Lyta Penna, and Andrew Clark. "An implementation of bitsliced DES on the pentium MMX TM processor." Australasian Conference on Information Security and Privacy. Springer, Berlin, Heidelberg, 2000. https://doi.org/10.1007/10718964_10
- [28] Microsoft. QueryPerformanceCounter function [internet]. <https://docs.microsoft.com/en-us/windows/win32/api/profileapi/nf-profileapi-queryperformancecounter>
- [29] Arm Developer. DWT Programmers' model [internet]. <https://developer.arm.com/documentation/100166/0001/Data-Watchpoint-and-Trace-Unit/DWT-Programmers-model>
- [30] KISA. HIGHT [internet]. <https://seed.kisa.or.kr/kisa/algorithm/EgovHightInfo.do>



김인영(Inyeung Kim)

2020년 : 서울과학기술대학교 대학원 컴퓨터공학과 학사

2014년 3월~2020년 2월: 서울과학기술대학교 컴퓨터공학과 학사

2020년 3월~현 재: 서울과학기술대학교 컴퓨터공학과 석사과정

※ 관심분야 : 정보보호(Information Security), 암호학(Cryptography), 디지털 포렌식(Digital Forensic) 등



석병진(Byoungjin Seok)

2017년 : 서울과학기술대학교 대학원 컴퓨터공학과 학사

2019년 : 서울과학기술대학교 대학원 컴퓨터공학과 석사

2012년 3월~2017년 8월: 서울과학기술대학교 컴퓨터공학과 학사

2017년 9월~2019년 2월: 서울과학기술대학교 컴퓨터공학과 석사

2019년 3월~현 재 : 서울과학기술대학교 컴퓨터공학과 박사과정

※ 관심분야 : 정보보호(Information Security), 암호학(Cryptography), 디지털 포렌식(Digital Forensic) 등



이창훈(Changhoon Lee)

2001년 : 한양대학교 자연과학부 수학전공 학사

2003년 : 고려대학교 정보보호대학원 석사

2008년 : 고려대학교 정보경영전문대학원 정보보호전공 박사

2008년 4월~2008년 12월 : 고려대학교 정보보호연구원 연구교수

2009년 3월~2012년 2월 : 한신대학교 컴퓨터공학부 조교수

2012년 3월~2015년 3월 : 서울과학기술대학교 컴퓨터공학과 조교수

2015년 4월~2020년 3월 : 서울과학기술대학교 컴퓨터공학과 부교수

2020년 4월~현 재 : 서울과학기술대학교 컴퓨터공학과 정교수

※ 관심분야 : 정보보호(Information Security), 암호학(Cryptography), IoT(Internet of Things), 디지털포렌식(Digital Forensics)